

EA722 - Laboratório de Controle e Servomecanismos

Controle Não Colocado

Faculdade de Engenharia Elétrica e de Computação
Universidade Estadual de Campinas

2º Semestre 2017

- Da experiência 4 para os sistemas retilíneo e torcional:
 - o controle colocado é **efetivo** no controle da posição do primeiro elemento (carro #1 (x_1) ou disco #1 (θ_1)),
 - do ponto de vista do controle do segundo elemento (carro #2 (x_2) ou disco #2 (θ_2)), a estratégia de alto ganho mostrou-se **inadequada**,
 - o controle da posição do elemento #2 através apenas da realimentação de x_1 (ou θ_1) leva a uma estratégia de **baixos ganhos**.

- Proposta a ser estudada **controle não-colocado**

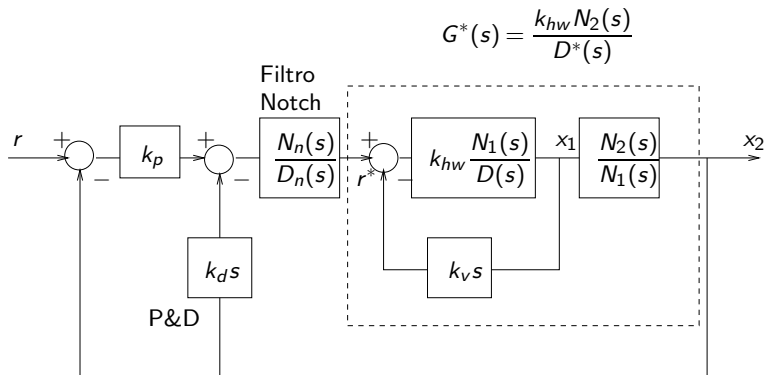
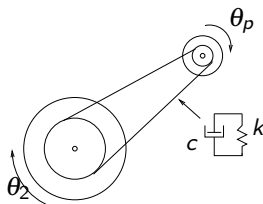


Figura: Diagrama para controle não-colocado.

- **Emulador:** dois discos, de tração e de carga, conectados através da correia flexível:



Funções de transferência em malha aberta:

$$\frac{\theta_1(s)}{T(s)} = k_{hw} \frac{N_1(s)}{D(s)}, \quad \frac{\theta_2(s)}{T(s)} = k_{hw} \frac{N_2(s)}{N_1(s)},$$

$$N_1(s) = J_\ell s^2 + c_2 s + k, \quad N_2(s) = k_{hw} k / g_r$$

$$D(s) = J_d^* J_\ell s^4 + (c_2 J_d^* + c_1 J_\ell) s^3 + [(J_d^* + J_\ell g_r^{-2}) k + c_1 c_2] s^2 + (c_1 + c_2 g_r^{-2}) k s$$

Onde,

J_l

inércia total no disco de carga

J_p

inércia do pino SR

$g_r = 4, g_r' = 2$

relação de velocidades 4 : 1

k

constante elástica da correia flexível

k_{hw}

ganho de hardware

c_1, c_2

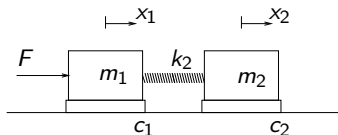
coeficientes de atrito viscoso nos discos

$J_d^* = J_d + J_p(g_r')^{-2}$

inércia total no disco de atuação

Configurações adotadas – Retilíneo

- **Retilíneo:** dois carros conectados por uma mola de dureza média:



Funções de transferência de malha aberta:

$$\frac{X_1(s)}{T(s)} = \frac{N_1(s)}{D(s)}, \quad \frac{X_2(s)}{T(s)} = \frac{N_2(s)}{D(s)}$$

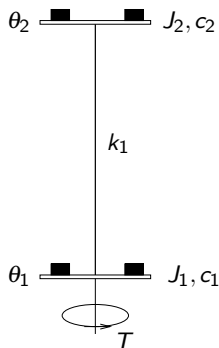
$$N_1(s) = m_2 s^2 + c_2 s + k_2, \quad N_2(s) = k_{hw} k_2$$

$$D(s) = m_1 m_2 s^4 + (c_1 m_2 + c_2 m_1) s^3 + [(m_1 + m_2) k_2 + c_1 c_2] s^2 + (c_1 + c_2) k_2 s$$

onde,

| | |
|------------|-----------------------------------|
| m_1, m_2 | massa dos carros |
| c_1, c_2 | coeficientes de atrito dos carros |
| k | constante de mola |
| k_{hw} | ganho de hardware |

- **Torsional:** dois discos conectados pela mola torcional, com pesos adicionais:



Funções de transferência de malha aberta:

$$\frac{\theta_1(s)}{T(s)} = \frac{N_1(s)}{D(s)}, \quad \frac{\theta_2(s)}{T(s)} = \frac{N_2(s)}{D(s)}$$

$$N_1(s) = J_2 s^2 + c_2 s + k_1, \quad N_2(s) = k_{hw} k_1$$

$$D(s) = J_1 J_2 s^4 + (c_1 J_2 + c_2 J_1) s^3 + [(J_1 + J_2) k_1 + c_1 c_2] s^2 + (c_1 + c_2) k_1 s$$

onde

J_1, J_2 momento de inércia total nos discos 1 e 2

c_1, c_2 coeficientes de atrito viscoso dos discos

k_1 constante torcional da mola

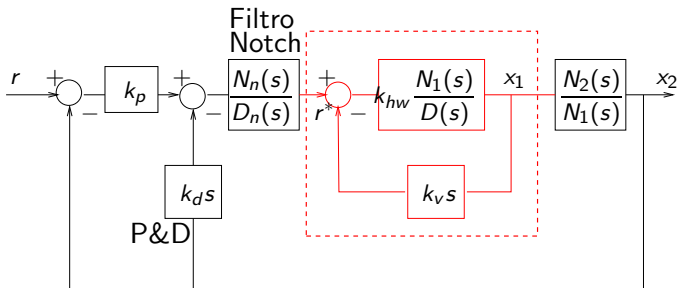
k_{hw} ganho de hardware

→ os três sistemas são análogos

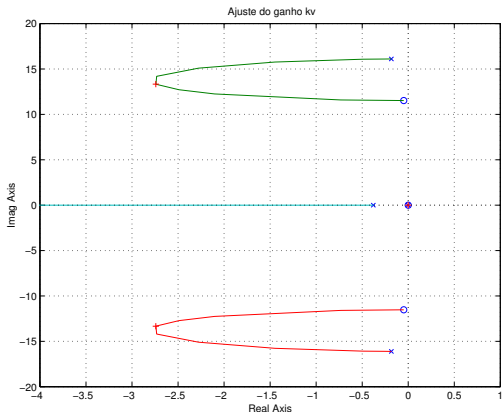
Reescrevendo a f.t. entre x_2 e a força f na forma

$$\frac{X_2(s)}{F(s)} = \frac{N_1(s) N_2(s)}{D(s) N_1(s)},$$

- **Malha Interna:** responsável pelo controle da variável x_1 (ou θ_1) e o ajuste do amortecimento



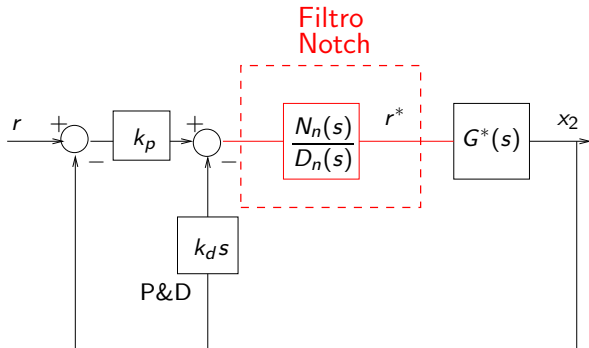
- **Passo 1:** Calcula-se o ganho k_V através do lugar das raízes da malha interna, de modo que o amortecimento dos pólos em malha fechada de $X_1(s)/R^*(s)$ seja o maior possível



Obtém-se a função de transferência $G^*(s)$:

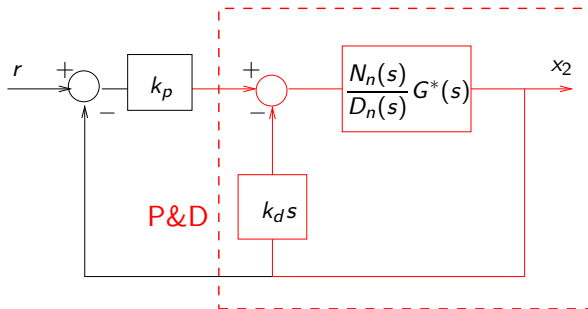
$$G^*(s) = k_{hw} \frac{N_1(s)}{D^*(s)} \frac{N_2(s)}{N_1(s)} = k_{hw} \frac{N_1(s)}{D^*(s)}$$

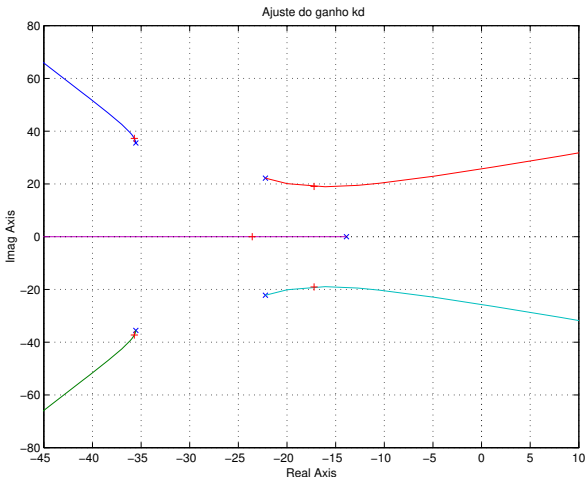
- **Passo 2:** Calculam-se os parâmetros do **filtro notch** $N_n(s)/D_n(s)$ de modo que:
 - 1 os dois zeros do filtro **cancelam** dois pólos de $G^*(s)$ (tipicamente pólos pouco amortecidos),
 - 2 o filtro possua dois **pares de pólos complexos** de frequência natural dadas e $\xi = \sqrt{2}/2$ para ambos,
 - 3 o coeficiente do termo de maior grau do polinômio $D_n(s)$ deve ser 1 (**polinômio mônico**) e o **ganho estático** (DC) da f.t. do filtro deve ser unitário.



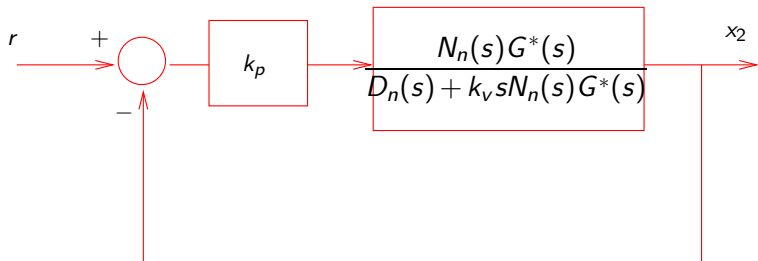
■ **Passo 3:** Os parâmetros do **controlador P&D** são obtidos através do diagrama do lugar das raízes

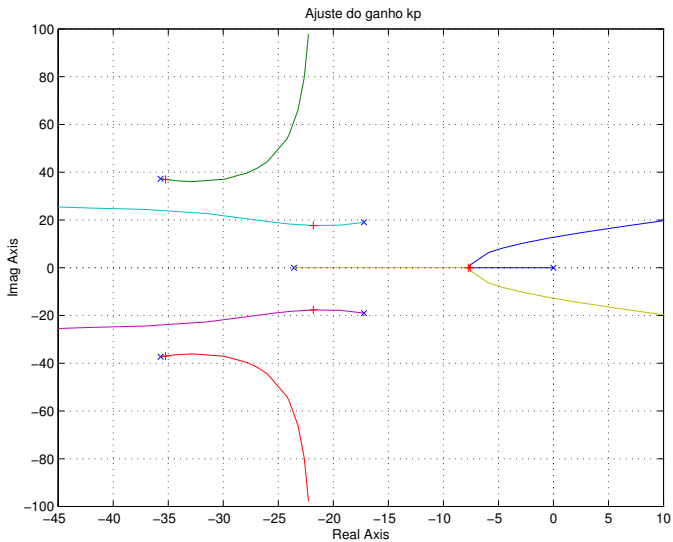
Ajuste do ganho k_d : máximo amortecimento para os pólos dominantes em malha fechada



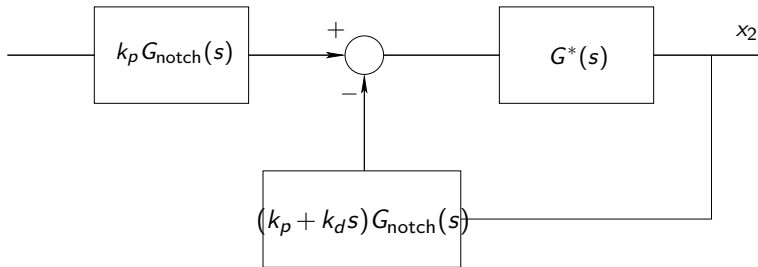


Ajuste do ganho k_p : mesmo critério de máximo amortecimento para os pólos dominantes em malha fechada





■ Passo 4: Implementação no software ECP



Representação do filtro notch + P&D no ECP

- O bloco $k_p G_{\text{notch}}(s)$ é implementado através dos polinômios $t(s)$ (numerador) e $r(s)$ (denominador).
- O bloco $(k_p + k_d s) G_{\text{notch}}(s)$ é implementado através dos polinômios $s(s)$ (numerador) e $r(s)$ (denominador).

Para o filtro notch sejam $N_n(s) = n_2s^2 + n_1s + n_0$ e $D_n(s) = s^4 + d_3s^3 + d_2s^2 + d_1s + d_0$. A relação entre os polinômios N_n, D_n e t, r, s é

$$t_0 = n_0 k_p$$

$$t_1 = n_1 k_p$$

$$t_2 = n_2 k_p$$

$$s_0 = n_0 k_d$$

$$s_1 = n_0 k_d + n_1 k_p$$

$$s_2 = n_1 k_d + n_2 k_p$$

$$s_3 = n_2 k_d$$

$$r_0 = d_0$$

$$r_1 = d_1$$

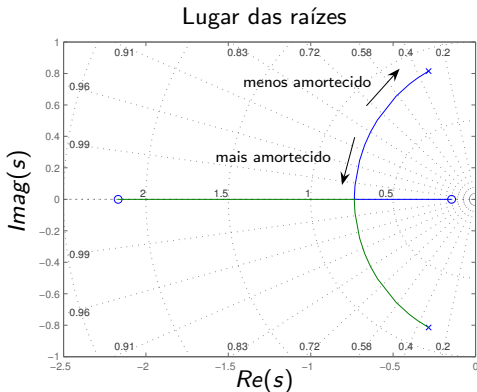
$$r_2 = d_2$$

$$r_3 = d_3$$

$$r_4 = 1$$

Observando o fator de amortecimento no Matlab

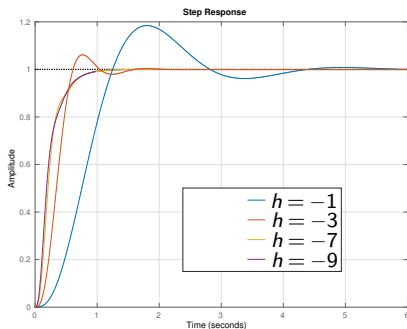
- Usando os comandos `rlocus` e `grid` no Matlab, é possível computar um ganho de modo que o fator de amortecimento resultante associado a um polo possa ser facilmente identificado graficamente (linhas radiais), como ilustra a figura apresentada a seguir



Lugar das raízes com grid

Tempo de estabelecimento

■ Considere a resposta ao degrau de uma função de transferência sem zeros e cujos os polos são: $p_1 = -5$, $p_2 = -h + 2hj$, $p_3 = -h - 2hj$. A figura mostrada a seguir mostra os casos $h \in \{-1, -3, -7, -9\}$. Quando $h = -1$, os polos complexos conjugados dominam (mais à direita), gerando uma resposta oscilatória e que demora mais para acomodar (tempo de estabelecimento longo). Por outro lado, quando $h = -9$, o polo real domina, produzindo uma resposta amortecida e com tempo de estabelecimento menor.



Resposta ao degrau de
 $G(s) = 1/\text{poly}[-5 \quad -h-2hj \quad h+2hj]$
para $h \in \{-1, -3, -7, -9\}$

Implementação dos ganhos de controle I

Configure Generalized Form Control Algorithm (continuous time)

Loop 1: $t(s)$, $r(s)$, $s(s)$, $r(s)$, *Enc1, *Enc2, *Enc3

Loop 2: $h(s)$, $j(s)$, $i(s)$, $j(s)$, *Enc1, *Enc2, *Enc3

Loop 3: $e(s)$, $g(s)$, $f(s)$, $g(s)$, *Enc1, *Enc2, *Enc3

| | | | | | | | |
|-----|------------|-----|------------|-----|------------|-----|------------|
| t0: | 0.00000000 | s0: | 0.00000000 | r0: | 0.00000000 | h0: | 0.00000000 |
| t1: | 0.00000000 | s1: | 0.00000000 | r1: | 0.00000000 | h1: | 0.00000000 |
| t2: | 0.00000000 | s2: | 0.00000000 | r2: | 0.00000000 | i0: | 0.00000000 |
| t3: | 0.00000000 | s3: | 0.00000000 | r3: | 0.00000000 | i1: | 0.00000000 |
| t4: | 0.00000000 | s4: | 0.00000000 | r4: | 0.00000000 | j0: | 0.00000000 |
| t5: | 0.00000000 | s5: | 0.00000000 | r5: | 0.00000000 | j1: | 0.00000000 |
| t6: | 0.00000000 | s6: | 0.00000000 | r6: | 0.00000000 | e0: | 0.00000000 |
| t7: | 0.00000000 | s7: | 0.00000000 | r7: | 0.00000000 | e1: | 0.00000000 |
| | | | | | | f0: | 0.00000000 |
| | | | | | | f1: | 0.00000000 |
| | | | | | | g0: | 0.00000000 |
| | | | | | | g1: | 0.00000000 |

OK

Cancel

Import

Loop 1: Encoder 1, Encoder 2, Encoder 3

Loop 2: Encoder 1, Encoder 2, Encoder 3

Loop 3: Encoder 1, Encoder 2, Encoder 3

Tela de configuração do controlador genérico

Dicas Gerais:

- Retilíneo – atenção às malhas de realimentação: Loop 3 → encoder 1 (posição do carro 1), Loop 1 → encoder 2 (posição do carro 2).
- Torcional – atenção às malhas de realimentação: Loop 3 → encoder 1 (posição do disco 1), Loop 1 → encoder 3 (posição do disco 3).
- Emulador – atenção às malhas de realimentação: Loop 3 → encoder 1 (posição do disco de atuação), Loop 1 → encoder 2 (posição do disco de carga).
- Atenção à malha de realimentação Loop 2: a mesma não está sendo utilizada, portanto $i_0 = 0$
- Atenção aos denominadores de $g(s)$ e $j(s)$: fazer $g_0 = j_0 = 1$ para não ter divisão por zero.
- Atenção aos numeradores de $h(s)$ e $e(s)$: fazer $h_0 = e_0 = 1$ para não “abrir” a malha (não passa sinal).
- Atenção à implementação do ganho k_v : o mesmo deve ser implementado em f_1 .

- P. A. V. Ferreira. [Introdução aos sistemas de controle](#). Notas de aula do Prof. Paulo Valente, FEEC-UNICAMP, 1999, <http://www.dt.fee.unicamp.br/~jbosco/ea722/rotaula0.pdf>.
- G. F. Franklin, J. D. Powell, and A. Emami-Naeini. [Feedback Control of Dynamic Systems](#). Pearson, Upper Saddle River, NJ, 6 edition, 2009.
- J. C. Geromel and A. G. B. Palhares. [Análise Linear de Sistemas Dinâmicos: Teoria, Ensaio Práticos e Exercícios](#). Blucher, São Paulo, SP, 2004.
- K. Ogata. [Engenharia de Controle Moderno](#). Prentice-Hall do Brasil, Rio de Janeiro, RJ, 3 edition, 1998.